

Fissuration dynamique non régulière

F. DUBOIS

frederic.dubois@univ-montp2.fr

Y. MONERIE

yann.monerie@irsn.fr



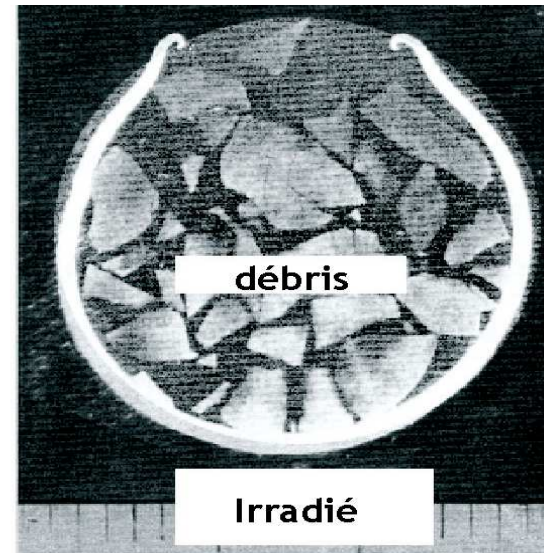
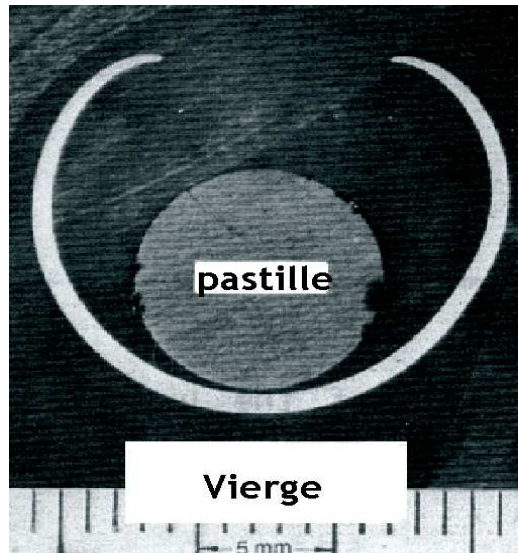
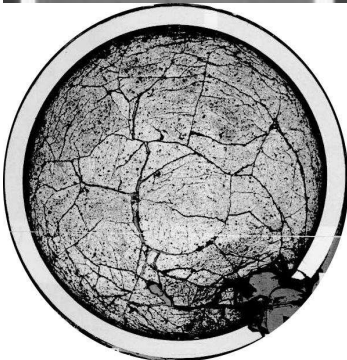
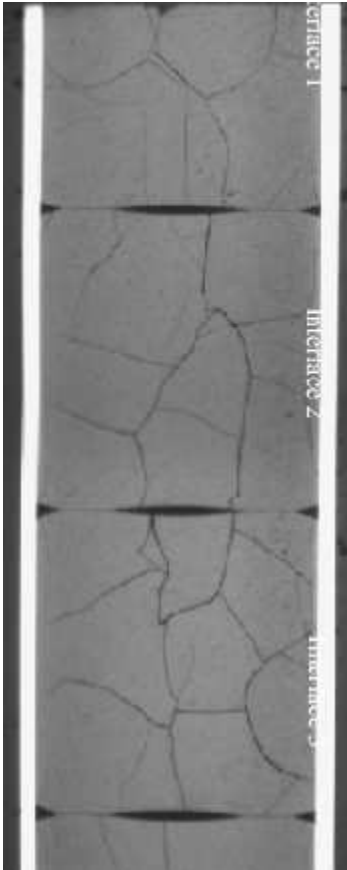
collaborateur : V. ACARY (INRIA)

Motivations

1/ Injection de Réactivité



2/ Perte de Réfrigérant Primaire



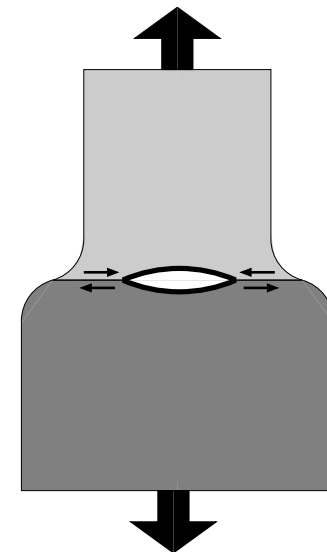
Nonsmooth Fracture Dynamics

► Objectifs

- ▷ **Fissuration** des matériaux homogènes et hétérogènes (en statique et dynamique), comportements équivalents
- ▷ Amorçage, propagation, post-rupture, gestion des fragments
- ▷ **Interactions locales complexes** (contact frottant, dilatence, cicatrisation, . . .)
- ▷ **Milieus continus, discrets**
- ▷ **Couplages** : thermomécanique, fluide/grains, . . .

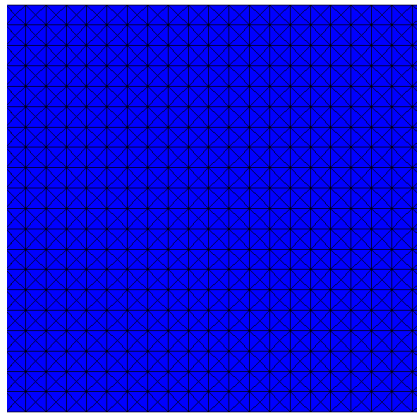
► Méthode basée sur

- ▷ la méthode des éléments finis cohésifs/volumiques
- ▷ les modèles de **zone cohésive frottante**
- ▷ l'approche **Nonsmooth Contact Dynamics**

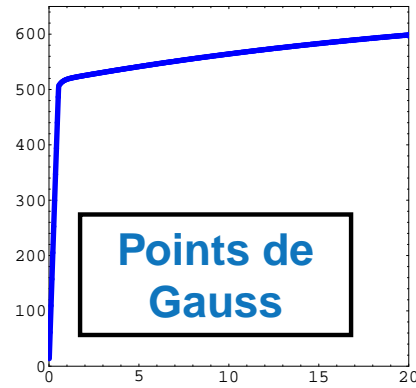


Approche volumique/cohésive

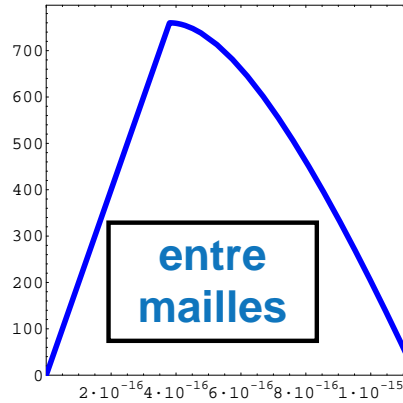
► Fissuration des matériaux homogènes



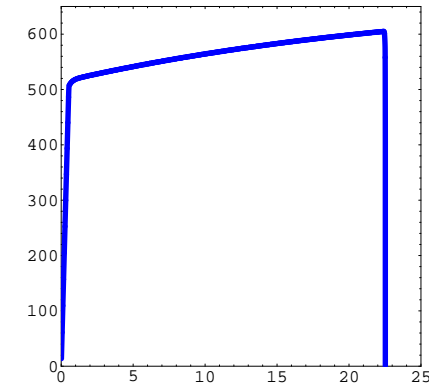
Volumique



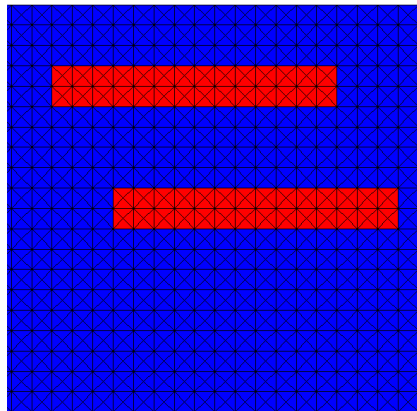
Cohésif



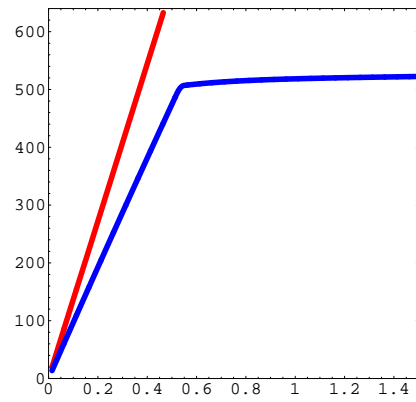
Résultante



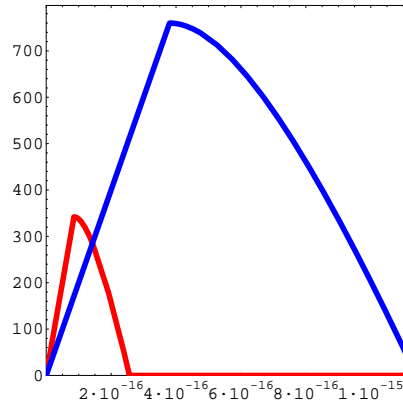
► Fissuration des matériaux hétérogènes



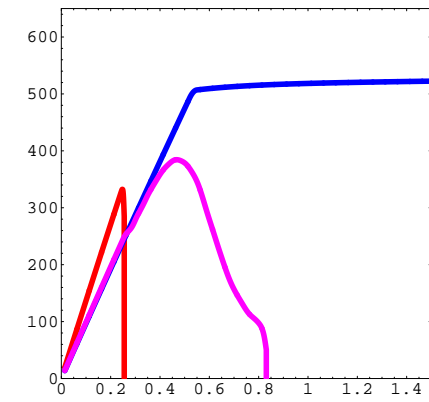
Volumique



Cohésif

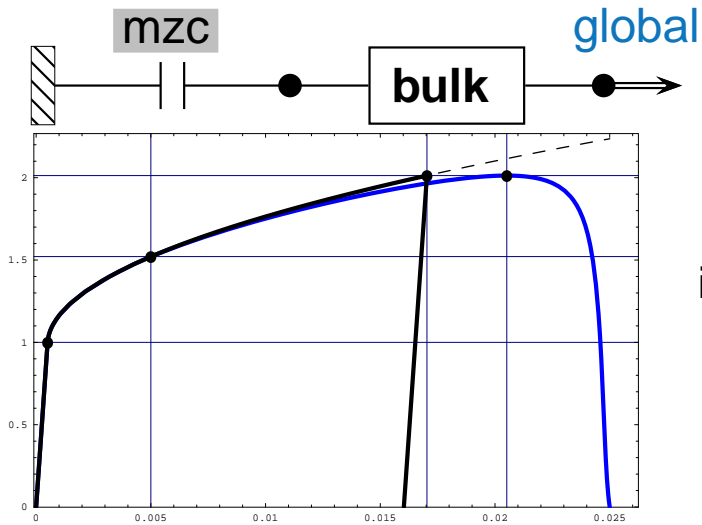


Résultante

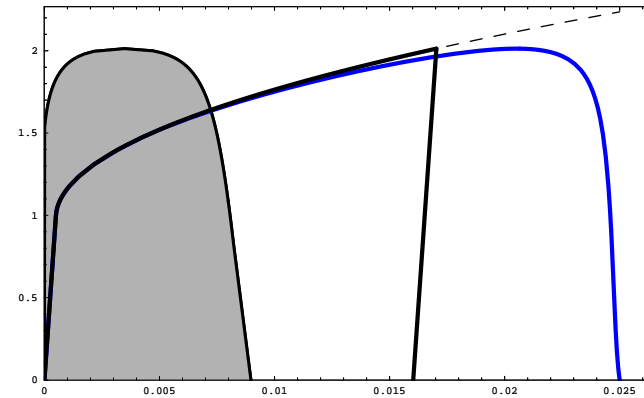


Quelle forme ?

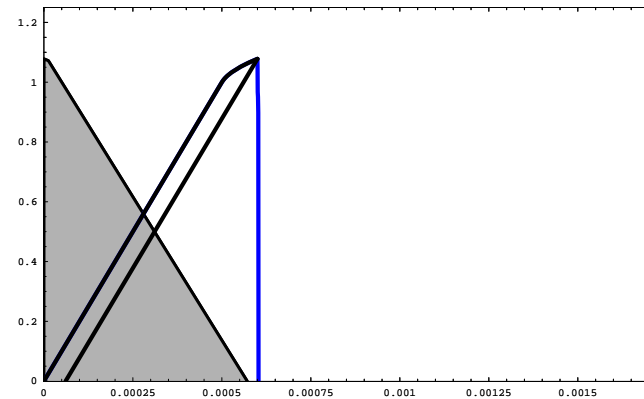
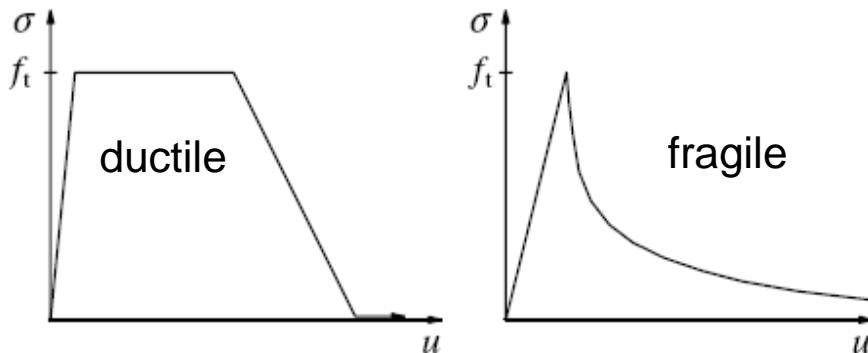
- raideur initiale finie (intrinsèque) ou infinie (extrinsèque) ?



indentification
→
inverse



- “porte” ou “triangle” ? (une règle d’usage)



©[de Borst et al., 2006]

Problème d'unicité de la solution, instabilités

► **Le cas de 2 solides élastiques adhérents** en quasistatique

- ▷ existence solutions $\in \{v \in [H^1(\Omega)]^3 ; v = 0 \text{ p.p. } \Gamma_u ; [v_N] \leq 0 \text{ p.p. } \Gamma_c\}$
- ▷ unicité conditionnelle : $|\lambda l/c_0| < 1$

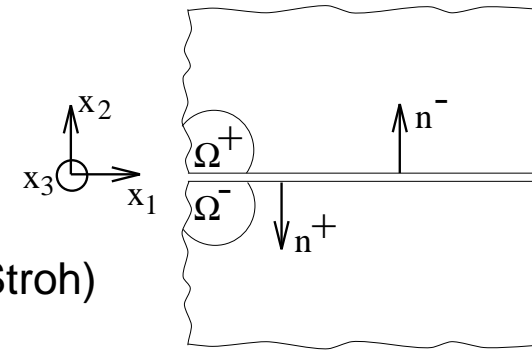
► **Instabilités associées**

$$\mathbf{R}^{\text{coh}} = \mathbf{T} \cdot [u]^+, \quad \mathbf{S} = \frac{\partial \mathbf{R}^{\text{coh}}}{\partial [u]^+}$$

Ondes périodiques : $\dot{u}^\pm = v^+ e^{i(K^\pm \cdot x - \omega^\pm t)}$ (ou Stroh)

Perte d'unicité : ondes stationnaires $\omega^\pm = 0$

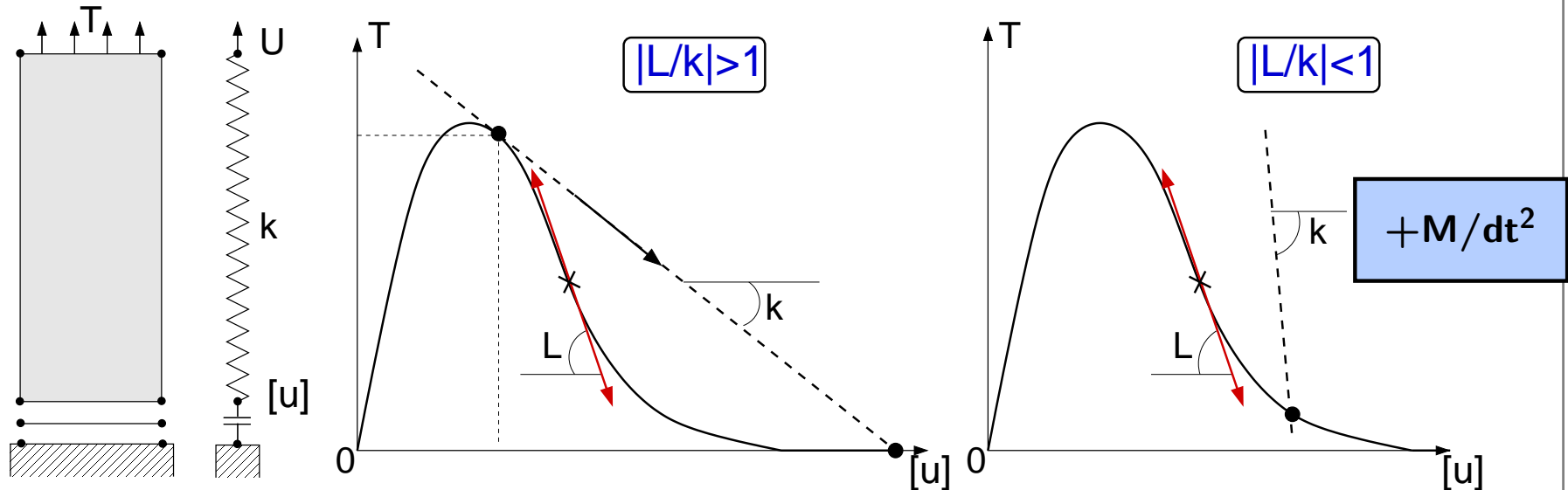
$$\det \left(\frac{i}{2} B^+ - \mathbf{S} + \mathbf{S} (B^-)^{-1} B^+ \right) = 0 \quad \text{où} \quad B_{ik}^\pm = C_{i2kl}^\pm K_l^\pm + C_{i2mk}^\pm K_m^\pm$$



- plus la “pente adoucissante” est forte, plus l’interface est instable
- Le couplage normal-tangent promeut les instabilités (frottement !)

Interprétation physique

► Interprétation 1D



- **longueur d'onde des instabilités** dépend de la "forme" du MZC
- **extrinsèques plus stables** que intrinsèques [Kubair, Geubelle, 2003]

► Régularisation dynamique

(ou pilotage local, modèles non-locaux, viscosité volumique ou surfacique, ...)

Une précaution essentielle en fissuration dynamique

- ▶ **Ne pas perturber des ondes de compression** (même en traction)
 - ▷ pas d'interpénétration des mailles
 - ▷ besoin de conditions de **contact unilatéral** (non régularisé, ni pénalisé)

Modèle de zone cohésive frottant

- ▶ **Contact et frottement** [Raous, Cangémi, Cocu, Monerie, 1996-2003]

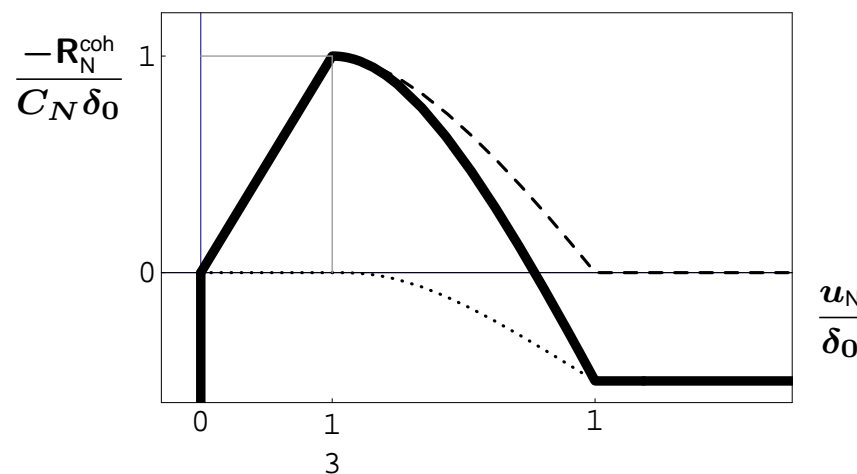
$$-(\mathbf{R}_N + \mathbf{R}_N^{\text{coh}}) \in \partial I_{\mathbb{R}^+}(u_N), \quad (\mathbf{R}_T + \mathbf{R}_T^{\text{coh}}) \in \partial (\mu \kappa(\beta) |\mathbf{R}_N + \mathbf{R}_N^{\text{coh}}| \|\dot{u}_T\|)$$

- ▶ **Cohésion:**

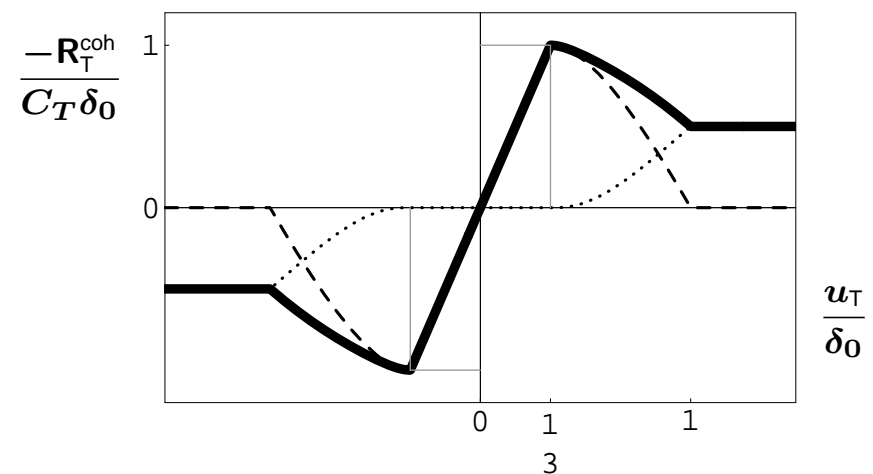
$$\begin{cases} \mathbf{R}^{\text{coh}} = \beta \left(C_N \mathbf{n} \otimes \mathbf{n} + C_T \frac{\mathbf{u}_T \otimes \mathbf{u}_T}{\|\mathbf{u}_T\|^2} \right) \cdot [\mathbf{u}] + \kappa(\beta) p \mathbf{n} \otimes \mathbf{n} \\ \mathbf{R}^{\text{coh}} = \beta \mathbf{R}_{\text{max}}^{\text{coh}} \quad [\text{formulation extrinsèque}] \end{cases}$$

- ▶ **Evolution endommagement surfacique** [Perales et al., 2006 ; Michel et al., 1994]

$$\beta = \min \left\{ D_{[0, \delta_c[}(\|[\mathbf{u}]\|) + D_{[\delta_c, 3\delta_c[}(\|[\mathbf{u}]\|) \frac{3\delta_c - \|[\mathbf{u}]\|}{\delta_c + \|[\mathbf{u}]\|}, \beta_{\min} \right\}$$

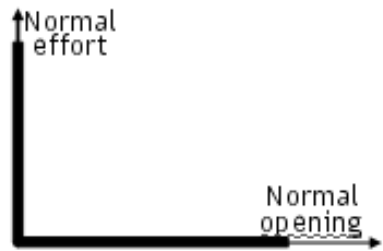
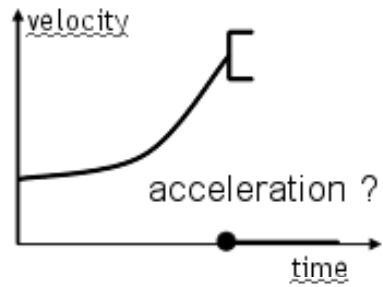
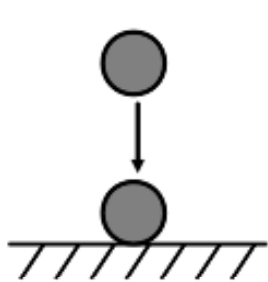


Normal



Tangent

Dynamique et contact



Dynamique non régulière

► Cinématique des discontinuités

- ▷ la vitesse $v = \dot{q}$: fonction à Variations Bornées (Continue à Droite)

$$v^+ = \dot{q}^+$$

- ▷ l'accélération : réécrite en terme de **mesures différentielles**

$$dv(]a, b]) = \int_{]a, b]} dv = v^+(b) - v^+(a)$$

- ▷ le déplacement

$$q(t) = q(t_0) + \int_{t_0}^t v^+(t) dt$$

► Efforts

- ▷ l'impulsion contient des termes réguliers et non-réguliers

$$di = r dt + dp$$

Event-driven, time-stepping, NSCD

► Détecter les évènements

- ⊕ ordre d'intégration élevé
- ⊖ pas de preuve de convergence
- ⊖ sensibilité aux seuils numériques
- ⊖ écriture des contraintes en accélération
- ⊖ gestion des évènements en cascade

lors des impacts

$$M(q)(v^+ - v^-)d\nu = pd\nu$$

entre les impacts

$$M(q)\gamma dt + F(t, q, v)dt = r dt$$

► Capturer les évènements

- ⊕ robuste, stable, preuve de convergence
- ⊕ écriture des contraintes en vitesse
- ⊕ gestion des évènements en cascade
- ⊖ ordre d'intégration faible

$$M(q)dv + F(t, q, v^+)dt = di$$

$$v^+ = \dot{q}^+$$

$$-di \in N_{T_C(q)}(v^+)$$

► Schéma en temps NSCD [Moreau, 1983, 1988; Jean, 1999]

$$\begin{cases} M(q_{k+\theta})(v_{k+1} - v_k) - h\tilde{F}_{k+\theta} = I_{k+1} \\ q_{k+1} = q_k + hv_{k+\theta} \\ -I_{k+1} \in N_{T_C(\tilde{q}_{k+\theta})}(v_{k+1}) \end{cases}$$

- ▷ **implicite** : vitesse, implusion ($I = hR$)
- ▷ à la discrétion de l'utilisateur : le reste

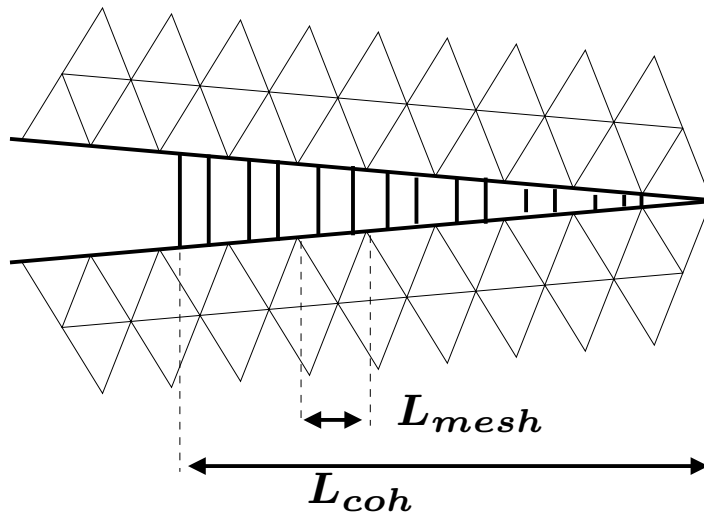
Précautions supplémentaires en fissuration dynamique

► **Non perturbation des propriétés élastiques** (même en statique)

- ▷ limiter la souplesse ajoutée par les modèles "intrinsèques" (à raideur initiale finie)
- ▷ besoin d'une **dépendance** des modèles cohésifs à la **taille de maille**

par exemple $10 \frac{E}{C_N} \leq L_{mesh}$ [Espinosa et Zavattieri, 2003]

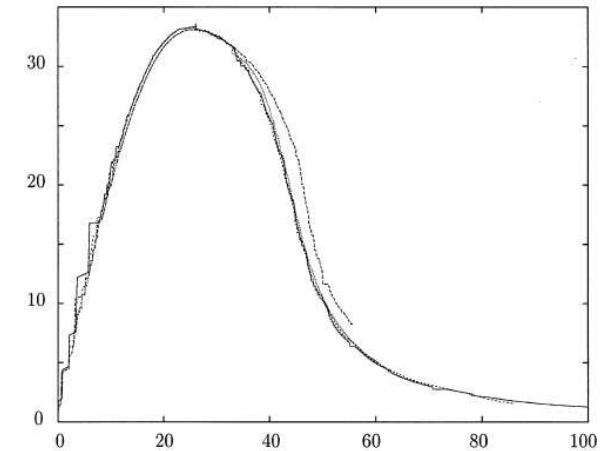
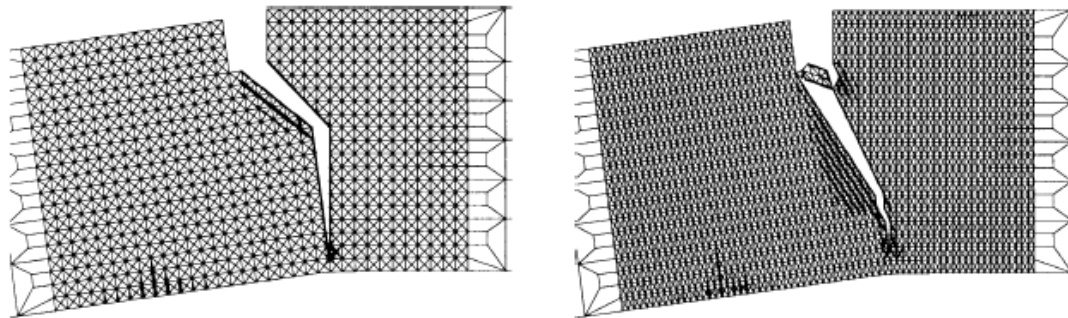
► **Maillage adapté**



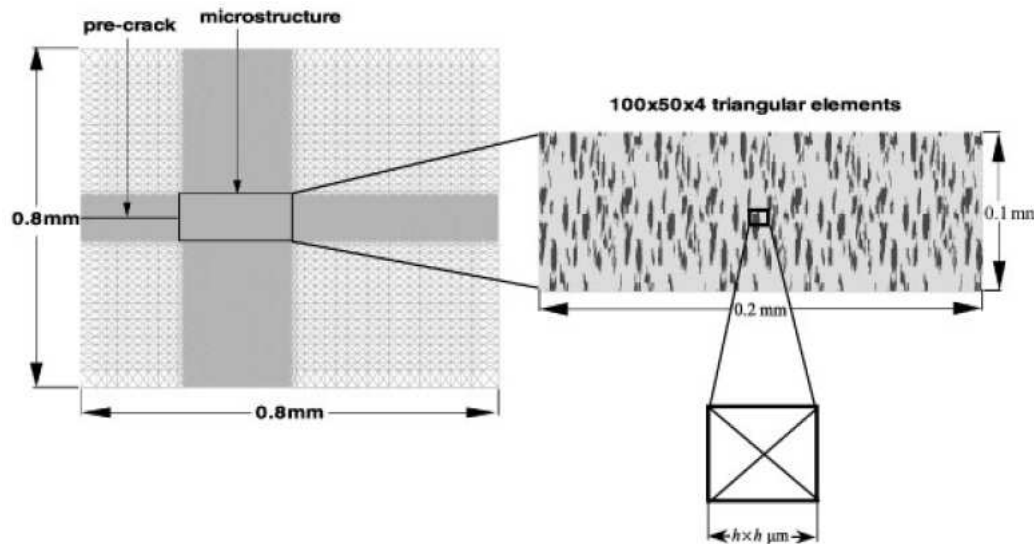
$$\begin{aligned}
 L_{mesh} &\leq L_{coh}(v) \\
 &= \frac{L_{coh}(0)}{A(v)} \quad [\text{Freund, 1989}] \\
 &\longrightarrow 0^+ \quad (v \longrightarrow c_R)
 \end{aligned}$$

Dépendance au maillage (quasi-statique)

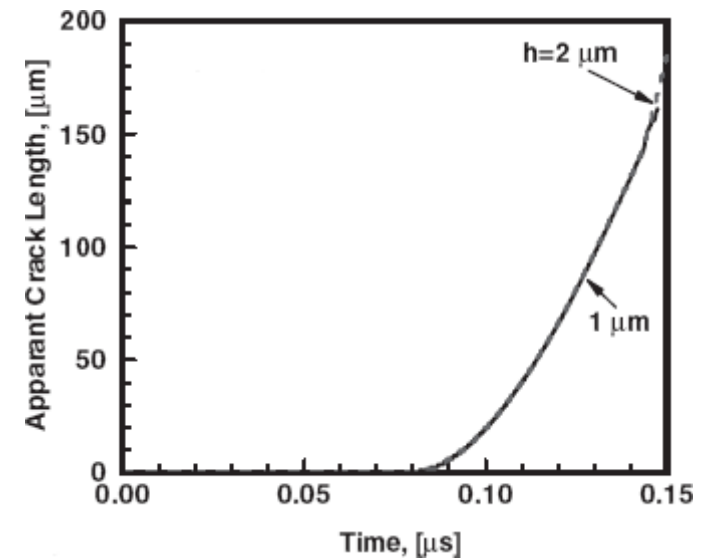
► Tijssens, Sluys, van der Giessen [2000]



► Tomar, Zhai, Zhou [2004]

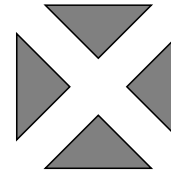


+ bornes sur $\frac{CL_{mesh}}{E'}$



Une borne inf. pour la souplesse additionnelle

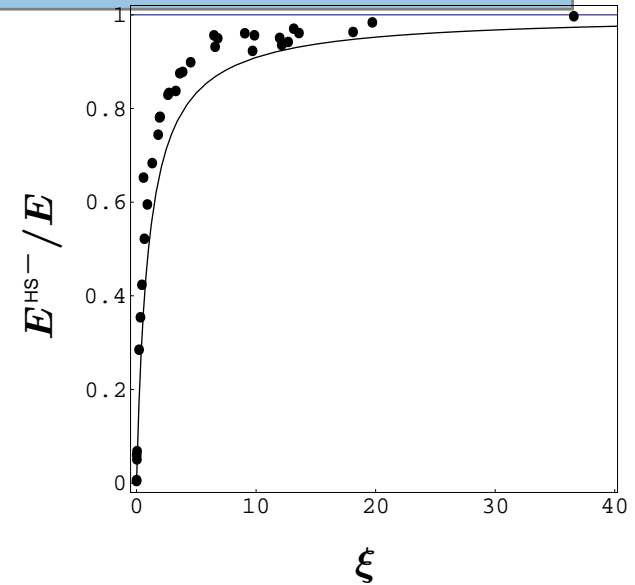
► **Comportement élastique**



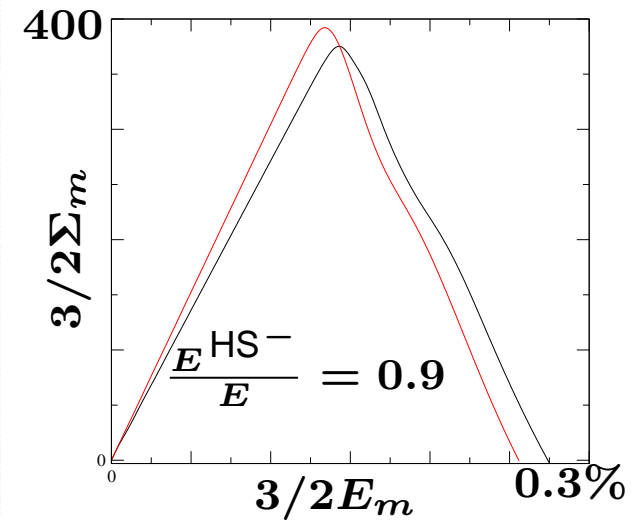
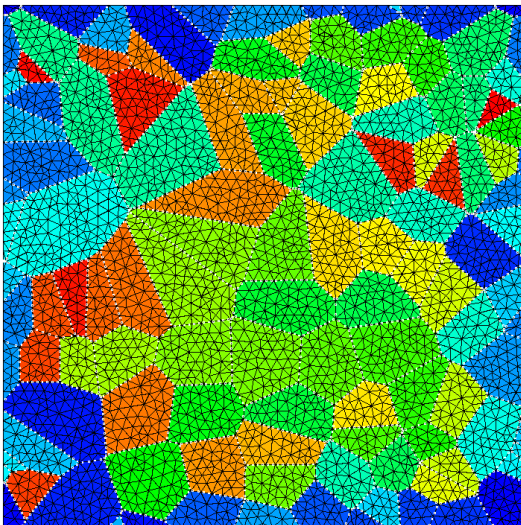
Borne inférieure de Hashin et Shtrickman

$$\mathbb{C}_{coh} = e (C_N \mathbb{E}_l + C_T \mathbb{K}_l) \quad \text{avec } f = eZ$$

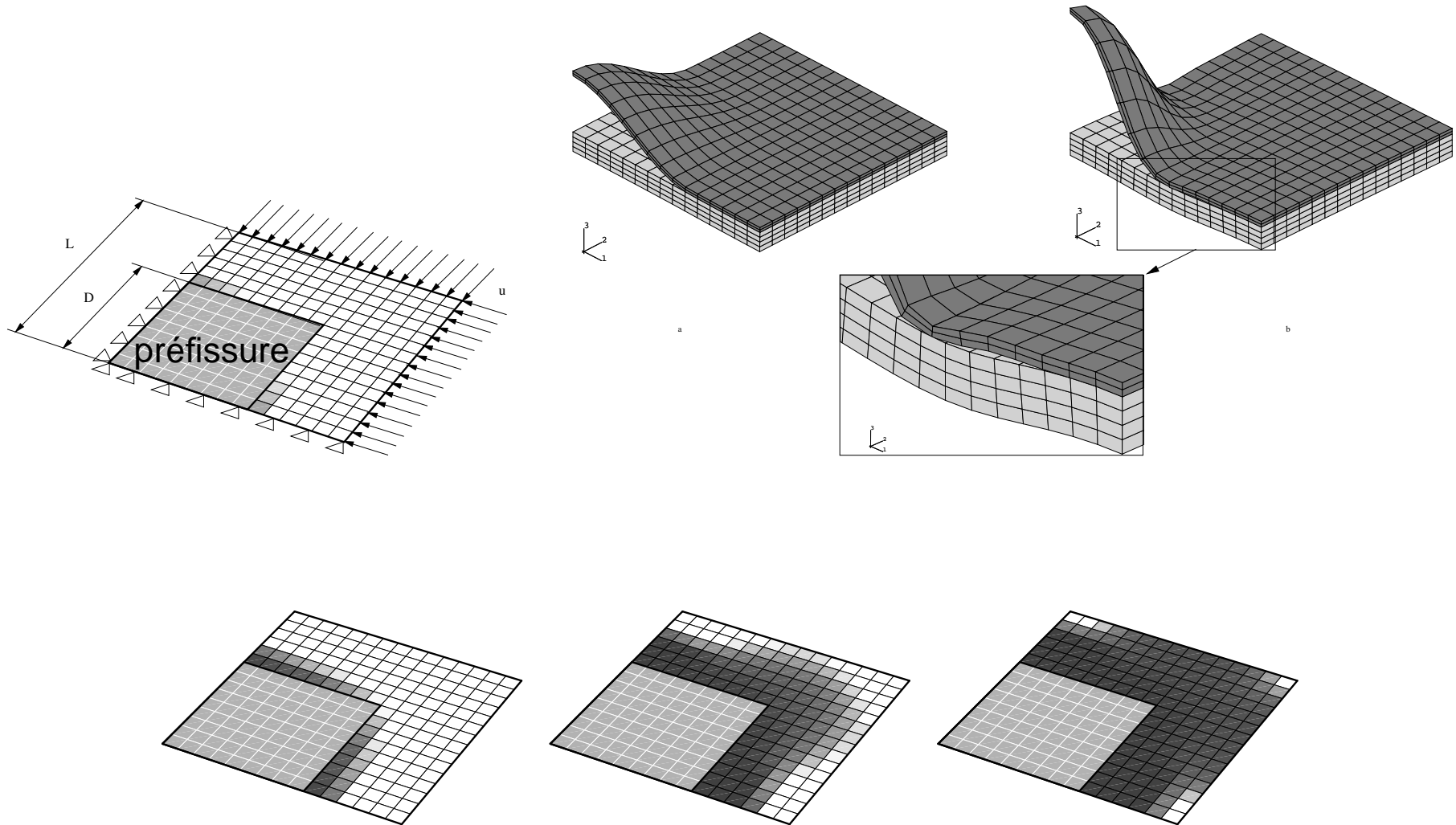
$$\xi = \frac{C_N L_{mesh}}{E} \times r(Z, \frac{C_N}{C_T}) \geq \frac{E^{HS^-} / E}{1 - E^{HS^-} / E}$$



► **Comportement en multi-fissuration** (Voronoi #)



Calcul de structure: flambement plaque composite

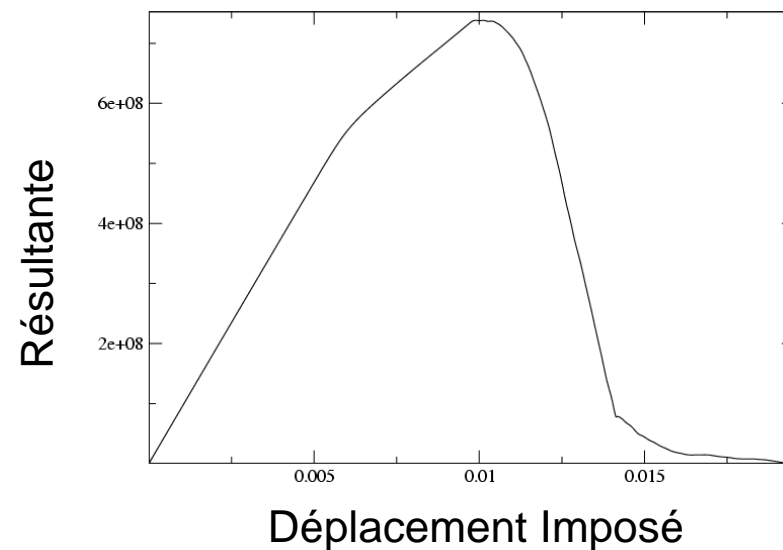
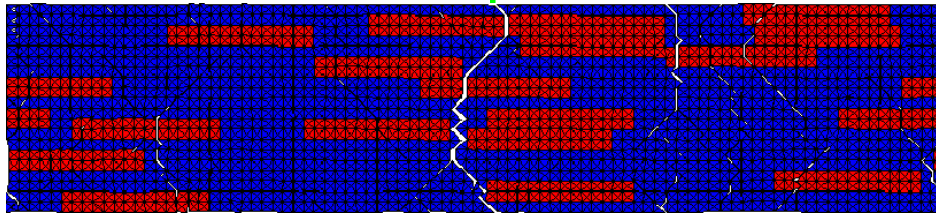
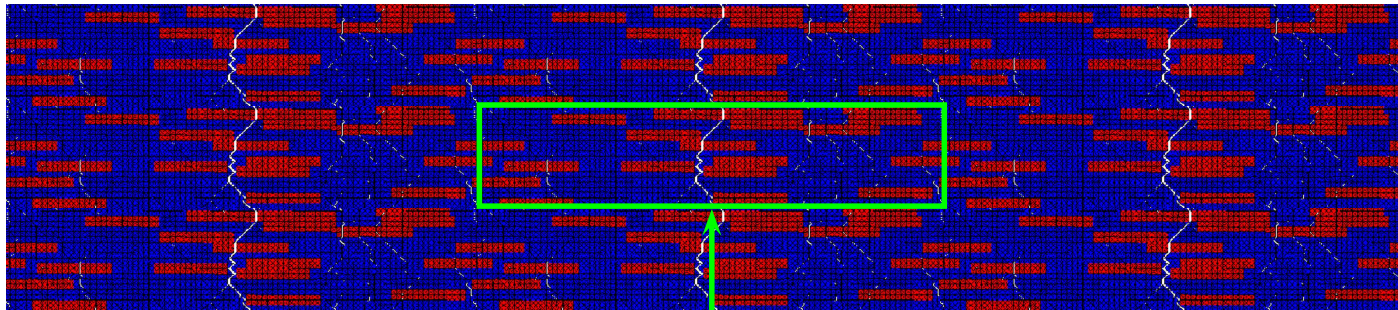


Comportement “effectif” des composites en fissuration

- Formulation variationnelle à deux champs : $v = E \cdot X + v^{per}$

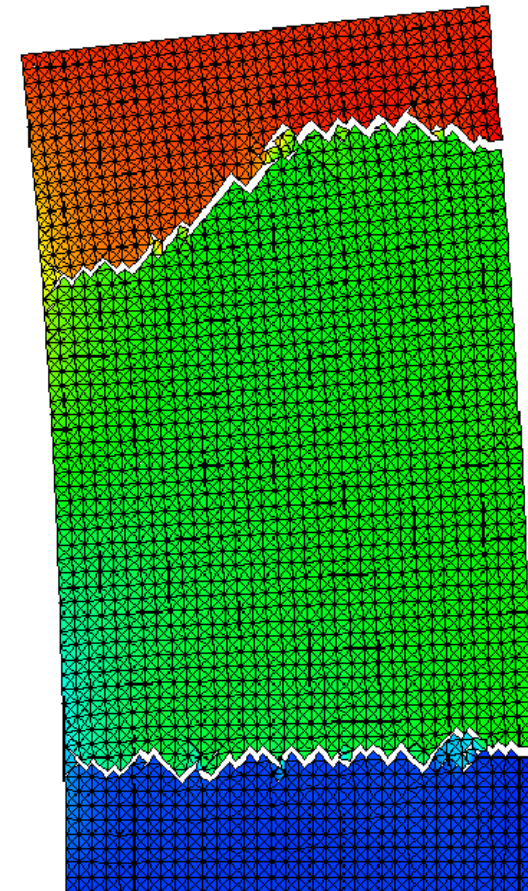
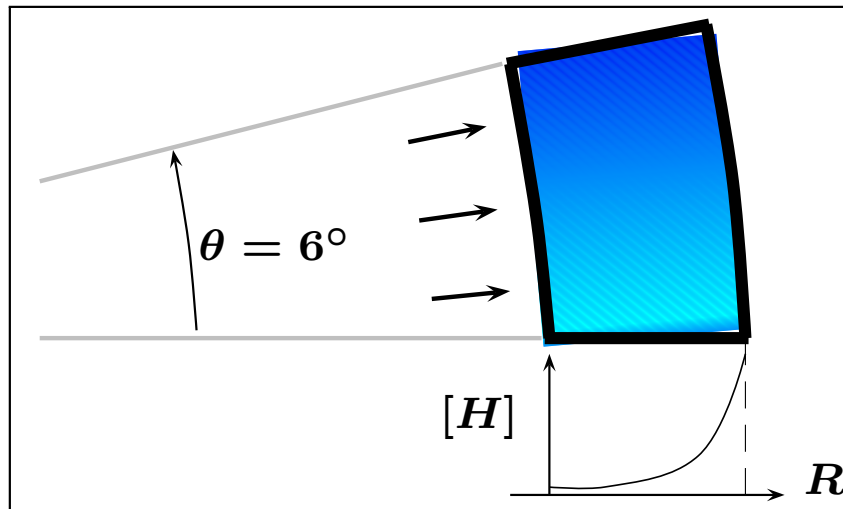
$$\begin{cases} \int_{\Omega} \Pi : \nabla v^{per} dx = - \int_{\Omega} \rho \ddot{u} \cdot v^{per} & \forall v^{per} \\ \int_{\Omega} \Pi : E dx = |\Omega| \bar{\Pi} : E & \forall E \end{cases}$$

$u^{per} = \text{Hétérogénéités} + \text{MZC}$



Fissuration des matériaux à gradient de propriétés

- loi volumique homogène équivalente et loi surfacique homogène équivalente



Conclusion

- ▶ Favoriser les formulations génériques : **Modèles de Zone Cohésive Frottante** (grande variété de matériaux et de phénomènes physiques, extinsèques-intrinsèques, plusieurs formes, paramètres G_{Ic} et/ou R^{max})
- ▶ Pas d'**influence de la forme** sur la **propagation stationnaire** des fissures (influence pour amorçage, sauts de solution, stabilité, $\dot{l} \neq$ constante)
- ▶ **Sauts de solution** \implies **dynamique non régulière**
- ▶ Efficacité de l'approche **volumique-cohésive**
Forte dépendance au maillage du trajet de fissuration, mais
 (Très) **faible dépendance** des propriétés apparentes de fissuration/rupture si l'on respecte . . .
- ▶ Quelques règles pratiques d'utilisation

▷ **Taille de maille** : $L_{mesh} \leq \frac{\pi}{8} \frac{E}{(1 - \nu^2)} \frac{G_{Ic}}{\langle R^{coh} \rangle^2} \frac{1}{A(v)}$

▷ **Raideur interfaciale** : $\frac{C_N}{E} \geq \frac{\alpha}{1 - \alpha} \left(1 + \frac{4}{3} \frac{C_N}{C_T} \right) \frac{2(1 + \sqrt{2})}{5L_{mesh}}$